

— 風洞実験と実橋における観測 —

九州産業大学工学部 正員 吉村 健

九州大学応用力学研究所 正員 中村泰治

九州産業大学工学部 正員 萩井類隆, 学生員 藤原 直

[1] まえがき 文献(1)により、簡易吊橋(人道橋)は長大吊橋と力学的に相似であることが明らかになりました。したがって、強風時ににおける簡易吊橋の空力弹性挙動と風洞実験結果を比較検討すれば、フラッタやカスト不規則振動に及ぼす気流の乱れのスケールあるいは空間相関の影響等に関する資料が得られ、長大吊橋の耐風設計の一資料となる。

以上の考察に基いて、まず第一段階として、一様気流中ににおける部分模型の風洞実験を行ない、簡易吊橋のフラッタ特性を調べた。次いで、強風時ににおける実橋の挙動を調べるために第一次観測を行なった。その概要を以下に報告する。実験の対象としている吊橋はFig.1に示すとおりであり、文献(1)に述べたA橋である。

[2] 風洞実験 Table-1は、実橋における振動試験で得られた固有振動数と対数減衰率である。発生し得るフラッタについては、表中各次の曲げ振動とねじり振動の連成したものと考えられる。そこで、本実験では、振動数比 R を種々変化させてフラッタ特性を調べた。曲げとねじりの減衰は、山上半波性ランバ電磁ダンパーで制御された。系の減衰は $\alpha = 1\%$ 、 $C_d = 2m/pb^2 \cdot \delta_a = 6.9 \sim 18$ 、 $C_d = 2^2/pb^2 \cdot \delta_b = 1.9 \sim 12$ である。実橋の山上か $C_d = 13 \sim 23$ 、 $C_d = 2.6 \sim 16$ であるから、ほぼ相似則を満足している。実験には九州大汎用風洞を用いた。

各振動数比について得られた結果²⁾を取りまとめ、 $V_F - R$ 曲線として図示したものとFig.2に示す。図中 CASE-1~3 では C_d と C_0 の値が異なる。Fig.2とTable-1を用いて得られた実橋のフラッタ限界風速の推定値をTable-2に示す。実橋では、曲げ打跡2次とねじり打跡1次等の各振動の連成したフラッタが、20%程度の風速で発生する結果となっている。

[3] 実橋における観測 本橋の架設地盤では、平

平均2個の台風の年に、春季にかけて強いカラッ風が吹く。そこで、本年3月下旬~4月上旬にかけての2週間、強風と振動の観測を行なった。Fig.1にはセンサーの配置も図示してある。風速はスパン上の4点で測定された。そのうちの3点にはピトー管・差圧変換器(図中 P(1f) ~ P(4f))が、他の1点には超音波風速計(S(3f), 2方向成分)がそれぞれ設置されてある。振動計測には、加速度計(A(1f) ~ A(14f))とビデオカメラが用いられた。こゝに、P(1f)等の記号内の数字は1/10英吋を表す。測定記録のはとんでは未解説であるので、速報として以下に記すことにする。観測期間中、瞬間最大風速 V_{max} 15%以上の風が3日観測された。風向は常にほぼ接觸直角方向であつた。Fig.3に S(3f) の主流方向成分 V_x の記録例を示す。図に見るようない、現場の風はいわゆる実風である。Fig.4は $V_{max} = 23\%$ の実風が吹いた時の記録である。風速の各測定間距離は約15mであるが、風速の相間は低いよう見える。かつ、全風成分(S(3f)のW)の変動は大きい。現場は深く蛇行した丁寧谷の谷間にありたり、亂れが大きいものと思われる。この時生じた振動は、低次の曲げモードの卓越したものであつた。Fig.5はビデオの記録から得られた1/10英吋の変位であるが、本橋の CL は迎角せりで正であるため、いくらか浮き上がり、た位置で振動する。 \times がわかる。Fig.6に加速度応答スペクトルの例($A(1f)_A$)を示す。Table-1に示した固有振動数を参照すると、各測定のスペクトルには低次の曲げとねじりの固有振動数附近にピークが見られる。

以上に記したように、現場の気流はかなり乱れているようであり、振動が観測された時の平均風速はいずれも Table-2 の V_F よりも低い。かつ、曲げモードが卓越していることから、生じた振動はカスト不規則振動であつたと考えられる。

④ 大きい 簡易吊橋について、風洞によるフラッタ実験と実橋における強風時の振動測定を行った。その結果、次のことがわかった。左に示す。

1. フラッタ限界風速は20%程度である。

2. 強風によりカスト不規則振動や発生する。

謝辞 本研究を行なうにあたり、有明高専教員の

吉村義蔵先生ならびに九州産大の土木構造工学研究室の卒研究生諸君の援助を受けた。こゝに記して謝意を表したい。

参考文献

1) 吉村健一: 第37回土木学会年次学術講演会論文集(II), p.57.

2) 吉村健一: 土木学会路面部会研究会論文集, p.67.

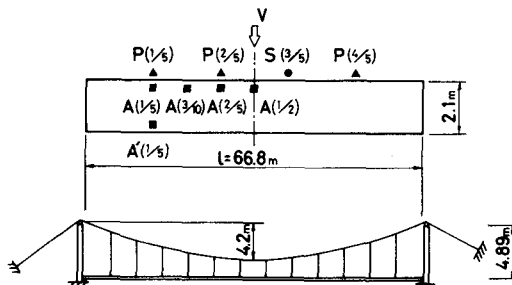


FIG. 1

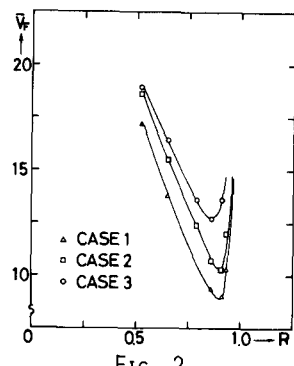


FIG. 2

Mode	f (Hz)	δ
B, Asym, 1st	0.614	0.103
B, Sym, 1st	0.754	0.0673
B, Sym, 2nd	1.06	0.111
T, Asym, 1st	1.07	0.0842
T, Sym, 1st	1.26	0.184
T, Sym, 2nd	2.04	0.141

TABLE 1

Coupling	R	V _F	V _F (m/s)
B, Sym, 2nd + T, Sym, 1st	0.92	12.5	16.5
B, Sym, 1st + T, Asym, 1st	0.71	14.8	16.6
B, Asym, 1st + T, Asym, 1st	0.57	17.6	19.8
B, Sym, 1st + T, Sym, 1st	0.60	17.0	22.5
B, Sym, 2nd + T, Sym, 2nd	0.58	17.5	36.6

TABLE 2

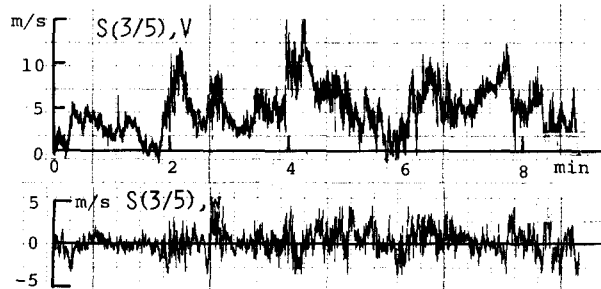


FIG. 3

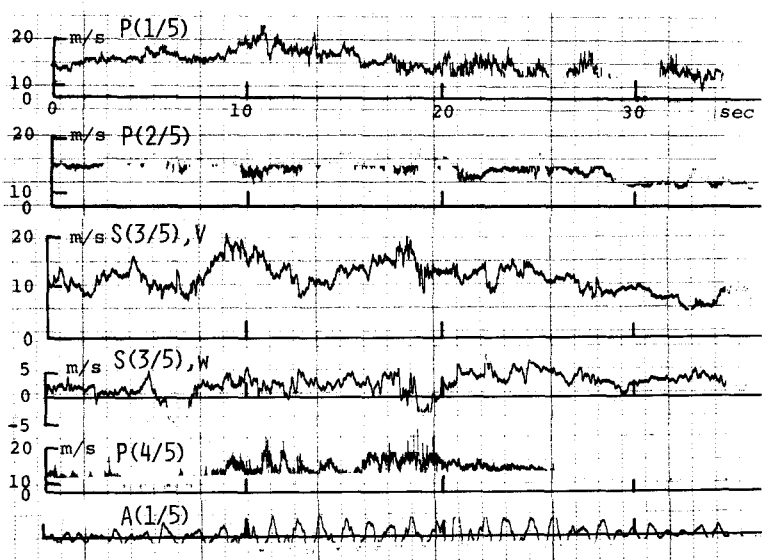


FIG. 4

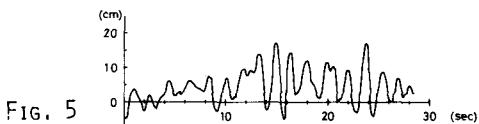


FIG. 5

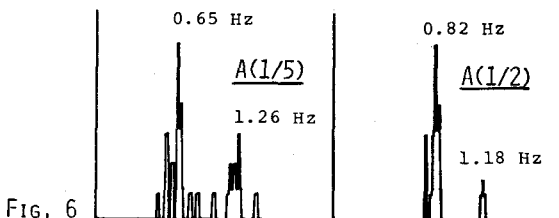


FIG. 6